

九州大学 工学院 正員 山崎徳也

長崎大学 " " 橋本武

九州大学 " " 学生員 ○山田喜四郎

1. 緒言

著者らは先に、一对辺が任意方向の中間支柱にて支持され、他対辺が単純支持される矩形板に任意垂直荷重が作用する場合の解法を発表^{1,2)}したが、つづいて複数方向の二辺が中間支柱にて剛結支持され、法線方向の二辺が単純支持される等方性等断面扇形平板の解法を提案し、かつ構造物の解析ながらびに設計に資せんとするものである。

2. 解説

(1) 枝の弾性曲面 一般に板と柱とが直交して剛結される場合には、板から柱に垂直反力、荷重および複数方向の水平反力、曲げモーメントおよび振りモーメントが伝わられるが、板面に対する垂直荷重が働く場合には、板面内の振りモーメントおよび水平反力はそれ自身微小であるからこれを無視することとする。

図-1 のごとく極座標 (r, θ) と二めらに直交する W 軸を導入する。板 $A B C D$ は法線方向の辺 AB , DC で単純支持され、また、接線方向の辺 AD は f 個 $(i=1, 2, \dots, f)$ の中間支柱で、辺 BC は n 個 $(j=1, 2, \dots, n)$ の中間支柱で剛結支持されるものとする。板に垂直荷重 $p(r, \theta)$ が作用し、かつ、辺 AB , DC の境界条件を満足することより板の弾性曲面 w は次式であらわされる(文献(3)参照)。

$$w = \sum_{n=1}^{\infty} \{ A_n r^{\alpha n} + B_n r^{-\alpha n} + C_n r^{2+\alpha n} + D_n r^{2-\alpha n} + F_n(r) \} \sin \alpha n \theta \quad (1)$$

$\geq i$: A_n, B_n, C_n, D_n : 積分定数, $\alpha n = n\pi/\alpha$,

$$F_n(r) = f_n r^4 / D(16 - \alpha n^2)(4 - \alpha n^2), \quad D: 板剛度$$

$$f_n = \frac{2}{\alpha} \int_0^\alpha p(r, \theta) \sin \alpha n \theta d\theta,$$

積分定数 $A_n \sim D_n$ は、 $r=r_1, r_2$ における辺 AD ,
 BC の境界条件を満足することと規定されなければならぬ。すなわち、辺 AD , BC における反力および法線方向の曲げモーメントをそれぞれ正弦フーリエ級数によってあらわせば

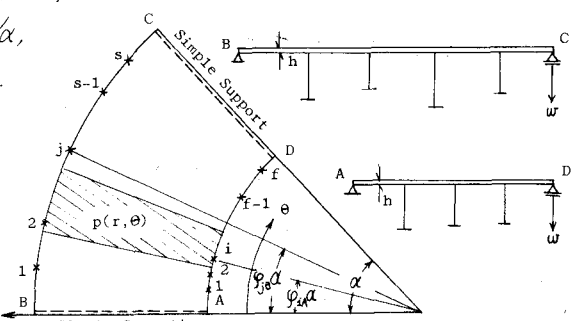


図-1

上記の境界条件式は次のごとくとなる。

$$\left. \begin{aligned} & \text{r} = r_1 \text{ にて } V_r = -D \left[\frac{\partial^2 w}{\partial r^2} + (2 - \nu) \left(\frac{1}{r^2} \frac{\partial^2 w}{\partial \theta^2} - \frac{1}{r^2} \frac{\partial w}{\partial r} + \frac{1}{r^2} \frac{\partial^2 w}{\partial \theta^2} - \frac{2}{r^3} \frac{\partial^2 w}{\partial r \partial \theta} \right) \right] = \sum_{n=1}^{\infty} V_{An} \sin \alpha n \theta, \quad M_r = -D \left[\frac{\partial^2 w}{\partial r^2} + \nu \left(\frac{1}{r^2} \frac{\partial w}{\partial r} + \frac{1}{r^2} \frac{\partial^2 w}{\partial \theta^2} \right) \right] = \sum_{n=1}^{\infty} M_{An} \sin \alpha n \theta \\ & \text{r} = r_2 \text{ にて } V_r = -D \left[\frac{\partial^2 w}{\partial r^2} + (2 - \nu) \left(\frac{1}{r^2} \frac{\partial^2 w}{\partial \theta^2} - \frac{1}{r^2} \frac{\partial w}{\partial r} + \frac{1}{r^2} \frac{\partial^2 w}{\partial \theta^2} - \frac{2}{r^3} \frac{\partial^2 w}{\partial r \partial \theta} \right) \right] = \sum_{n=1}^{\infty} V_{Bn} \sin \alpha n \theta, \quad M_r = -D \left[\frac{\partial^2 w}{\partial r^2} + \nu \left(\frac{1}{r^2} \frac{\partial w}{\partial r} + \frac{1}{r^2} \frac{\partial^2 w}{\partial \theta^2} \right) \right] = \sum_{n=1}^{\infty} M_{Bn} \sin \alpha n \theta \end{aligned} \right\} \quad (2)$$

$$\left. \begin{aligned} & \text{r} = r_1 \text{ にて } V_r = -D \left[\frac{\partial^2 w}{\partial r^2} + (2 - \nu) \left(\frac{1}{r^2} \frac{\partial^2 w}{\partial \theta^2} - \frac{1}{r^2} \frac{\partial w}{\partial r} + \frac{1}{r^2} \frac{\partial^2 w}{\partial \theta^2} - \frac{2}{r^3} \frac{\partial^2 w}{\partial r \partial \theta} \right) \right] = \sum_{n=1}^{\infty} V_{An} \sin \alpha n \theta, \quad M_r = -D \left[\frac{\partial^2 w}{\partial r^2} + \nu \left(\frac{1}{r^2} \frac{\partial w}{\partial r} + \frac{1}{r^2} \frac{\partial^2 w}{\partial \theta^2} \right) \right] = \sum_{n=1}^{\infty} M_{An} \sin \alpha n \theta \\ & \text{r} = r_2 \text{ にて } V_r = -D \left[\frac{\partial^2 w}{\partial r^2} + (2 - \nu) \left(\frac{1}{r^2} \frac{\partial^2 w}{\partial \theta^2} - \frac{1}{r^2} \frac{\partial w}{\partial r} + \frac{1}{r^2} \frac{\partial^2 w}{\partial \theta^2} - \frac{2}{r^3} \frac{\partial^2 w}{\partial r \partial \theta} \right) \right] = \sum_{n=1}^{\infty} V_{Bn} \sin \alpha n \theta, \quad M_r = -D \left[\frac{\partial^2 w}{\partial r^2} + \nu \left(\frac{1}{r^2} \frac{\partial w}{\partial r} + \frac{1}{r^2} \frac{\partial^2 w}{\partial \theta^2} \right) \right] = \sum_{n=1}^{\infty} M_{Bn} \sin \alpha n \theta \end{aligned} \right\} \quad (2)$$

ただし $V_{An}, V_{Bn}, M_{An}, M_{Bn}$: 任意定数 ν : 板のボアソン比

式(1)と式(2)に代入のうえ、連立に解けば積分定数 $A_n \sim D_n$ が次式のごとく求められる。

$$A_n = [P_A \frac{M_{Bn}}{D} + Q_A \frac{V_{Bn}}{D} + R_A \frac{V_{An}}{D} + S_A \frac{V_{Bn}}{D} + Q_A V_{An}] / E_0, \quad B_n = [P_B \frac{M_{An}}{D} + Q_B \frac{M_{Bn}}{D} + R_B \frac{V_{An}}{D} + S_B \frac{V_{Bn}}{D} + Q_B V_{Bn}] / E_0, \quad (3)$$

$$C_n = [P_C \frac{M_{An}}{D} + Q_C \frac{M_{Bn}}{D} + R_C \frac{V_{An}}{D} + S_C \frac{V_{Bn}}{D} + Q_C V_{An}] / E_0, \quad D_n = [P_D \frac{M_{An}}{D} + Q_D \frac{M_{Bn}}{D} + R_D \frac{V_{An}}{D} + S_D \frac{V_{Bn}}{D} + Q_D V_{Bn}] / E_0.$$

$$\geq i: Q_{A \sim D} = K_A \cdot D F_n^M(n) + L_A \cdot D F_n^T(B) + M_A \cdot D F_n^T(N) + N_A \cdot D F_n^T(O), \quad E_0 = E_a E_d, \quad E_{ab} = 4 \delta_{ab} (\alpha_{ab} - 1) (\alpha_{ab} + 1) (1 - \nu)^2 (d_a d_b \alpha_{ab} + t_a t_b \alpha_{ab}) / E_0$$

$$\begin{aligned}
& + d_3 d_5^2 t_5 t_6 t_8^2), E_{cd} = 4(\alpha_n + 1) d_6 \left(\frac{\partial}{\partial x} d_5 (\alpha_n - 1) t_5 t_3 - d_4 d_5^2 \alpha_n (\alpha_n - 1) t_2 t_3 + d_6^2 d_5 (\alpha_n - 1) t_5 t_6 \right), \\
K_1 & = E_{cd} Y_2^2 K_1 (2R^2 t_8 - \alpha_6 t_6 t_2) G_2 - 2d_7 t_8 G_1 \}, L_A = E_{cd} Y_2^2 M_A (2R^2 t_8 + \alpha_6 t_6 t_2) G_2 - 2d_7 t_8 G_1 \}, M_A = E_{cd} Y_2^2 A_6 d_7 G_2, \quad N_A = -E_{cd} Y_2^2 A_6 d_7 G_1, \\
P_A & = Y_2^2 K_A, Q_A = Y_2^2 L_A, R_A = Y_2^2 M_A, S_A = Y_2^2 N_A, K_B = -E_{cd} Y_2^2 M_B (2R^2 t_8 - \alpha_6 t_6 t_2) H_2 - 2d_7 t_8 H_1 \}, L_B = -E_{cd} Y_2^2 M_B (2R^2 t_8 + \alpha_6 t_6 t_2) H_1 - 2d_7 t_8 H_2 \}, \\
M_B & = -E_{cd} Y_2^2 A_6 d_7 H_2, N_B = E_{cd} Y_2^2 d_6 t_7 H_2, P_B = Y_2^2 K_B, Q_B = Y_2^2 L_B, R_B = Y_2^2 M_B, S_B = Y_2^2 N_B, K_C = 2E_{ab} f_2 \alpha_n (R^2 J_1 - R^2 J_2) - (\alpha_n - 2) A_6 J_2 \}, \\
L_C & = -2E_{ab} f_2 \alpha_n (R^2 J_1 - R^2 J_2) - (\alpha_n - 2) A_6 J_1 \}, M_C = -2E_{ab} J_2 b, N_C = 2E_{ab} A_6 J_1, P_C = Y_2^2 K_C, Q_C = Y_2^2 L_C, R_C = Y_2^2 M_C, S_C = Y_2^2 N_C, \\
K_D & = 2E_{ab} f_2 \alpha_n (R^2 I_1 - R^2 I_2) - (\alpha_n - 2) A_6 I_3 \}, L_D = -2E_{ab} f_2 \alpha_n (R^2 I_1 - R^2 I_2) - (\alpha_n - 2) A_6 I_1 \}, M_D = -2E_{ab} A_6 I_2, N_D = 2E_{ab} A_6 I_1, P_D = Y_2^2 K_D, \\
Q_D & = Y_2^2 L_D, R_D = Y_2^2 M_D, S_D = Y_2^2 N_D, \\
G_1 & = 2\alpha_n (\alpha_n + 1)(1 - \nu) R_1 (Y_2^2 A_6 t_4 t_6 t_2 + R^2 A_5 \alpha_n t_8), G_2 = 2\alpha_n (\alpha_n + 1)(1 - \nu) R_1 (Y_2^2 A_6 t_4 t_2 + R^2 A_5 \alpha_n t_8), J_1 = A_6 R_2^2 \alpha_n (\alpha_n - 1) t_3 + Y_2^2 R_2^2 A_6 (\alpha_n - 1) t_6, \\
J_2 & = A_6 R_2^2 \alpha_n (\alpha_n - 1) t_3 + Y_2^2 R_2^2 A_6 (\alpha_n - 1) t_6, J_4 = -(\alpha_n + 1) A_4 (R_2^2 A_5 \alpha_n t_2 + Y_2^2 A_6 t_5), J_5 = -(\alpha_n + 1) A_4 (R_2^2 A_5 \alpha_n t_2 + Y_2^2 A_6 t_5), H_1 = 2R_1 A_7 \alpha_n (\alpha_n - 1)(1 - \nu) \\
& \times (Y_2^2 A_6 t_4 t_2 + A_9 \alpha_n t_8), H_2 = 2R_2 A_7 \alpha_n (\alpha_n - 1)(1 - \nu) (Y_2^2 A_6 t_4 t_2 + A_9 \alpha_n t_8), F_n^{(1)}(r) = r^3 F_n^{(2)}(r) + \nu r^2 F_n^{(3)}(r) - \nu \alpha_n^2 F_n(r), \\
F_n^{(1)}(r) & = r^3 F_n^{(2)}(r) + \nu^2 (2 - \nu) F_n^{(2)}(r) - \nu (2 - \nu) (\alpha_n + 1) F_n^{(1)}(r) + 2\alpha_n^2 (2 - \nu) F_n(r), F_n^{(2)}(r) = \frac{\partial^2}{\partial r^2} F_n(r), F_n^{(3)}(r) = \frac{\partial^3}{\partial r^3} F_n(r), \\
R & = Y_2^{26}, R_1 = Y_2^{20}, A_3 = Y_2^{12} B_2^2, A_4 = R^2 B_2^2, A_5 = Y_2^2 B_2^2, A_6 = R^2 - R^2, A_7 = R_1 R_2, A_8 = Y_2^2 B_2^2 - Y_2^2 R_1^2, A_9 = Y_2^2 R_2^2 - Y_2^2 R_1^2, \\
x_1 & = \alpha_n (1 - \nu) + 2(3 - \nu), x_2 = \alpha_n (1 - \nu) + 2(1 + \nu), x_3 = \alpha_n (1 - \nu) - 2(1 + \nu), x_4 = \alpha_n (3 + \nu) + 2(1 + \nu), x_5 = \alpha_n (3 + \nu) - 2(1 + \nu), \\
x_6 & = \alpha_n (\alpha_n + 1)(1 - \nu) + 2(1 + \nu), x_7 = \alpha_n^2 (1 - \nu)^2 - 4(1 + \nu)^2, x_8 = \alpha_n^2 (1 - \nu)^2 + 4(1 + \nu)(3 - \nu),
\end{aligned}$$

地方、並びに A-D の各中間支柱の座標値を (r_i, φ_i, α) ($i=1, 2, \dots, f$) とする。各中間支柱に生ずる直角反力を柱断面の接線方向に沿って等分するものと仮定し、また、各中間支柱の柱頭に働く接線方向の反力モーメントは柱断面区间において接線方向に三角形分布するものとし、これら直角反力および接線方向の反力モーメントをそれを考慮して $[0, \alpha]$ において正弦フーリエ級数に展開する。したがって、並びに A-D における全反力は、各中間支柱におけるかごり等分反力および三角形分布反力の総和で与えられる。式(2)の任意定数 T_{AB} が次のとく算定される。

$$T_{AB} = \frac{4}{\pi \alpha_n (\alpha_n + 1)} \sum_{i=1}^f \left\{ R_i^A \sin \frac{\pi i \alpha_n}{2} \sin n \pi \varphi_{iA} + \frac{6}{\alpha_n \alpha_i} M_{Ai}^A \left(\cos \frac{\pi i \alpha_n}{2} - \frac{z}{\pi i \alpha_n} \sin \frac{\pi i \alpha_n}{2} \right) \cos n \pi \varphi_{iA} \right\} \quad (4)$$

たゞし、 R_i^A : 柱の直角反力、 M_{Ai}^A : 柱の接線方向の反力モーメント、 α_i : 柱断面の接線方向の中心線上に、各中間支柱の柱頭に生ずる法線方向の反力モーメントを、柱断面区间において接線方向に一様分佈をするものとし、これらを変域 $[0, \alpha]$ において正弦フーリエ級数に展開し、その総和を取れば、板に作用する接線方向の反力モーメントが算定され、したがって式(2)の任意定数 M_{AB} が次のとく求められる。

$$M_{AB} = \frac{4}{\pi \alpha_n (\alpha_n + 1)} \sum_{j=1}^f M_{Bj}^A \sin \frac{\pi j \alpha_n}{2} \sin n \pi \varphi_{jB}^A, \quad \text{たゞし } M_{Bj}^A: \text{ 柱の接線方向の反力モーメント} \quad (5)$$

同様に B-C の各中間支柱の座標値を (r_j, φ_j, α) ($j=1, 2, \dots, s$) とし、各中間支柱に生ずる直角反力および反力モーメントをそれを $R_j^B, M_{Bj}^B, M_{Bj}^C$ とすれば、式(2)の任意定数 T_{BC} , M_{BC} が次のとく求められる。

$$T_{BC} = -\frac{4}{\pi \alpha_n (\alpha_n + 1)} \sum_{j=1}^f \left\{ R_j^B \sin \frac{\pi j \alpha_n}{2} \sin n \pi \varphi_{jB}^B + \frac{6}{\alpha_n \alpha_j} M_{Bj}^B \left(\cos \frac{\pi j \alpha_n}{2} - \frac{z}{\pi j \alpha_n} \sin \frac{\pi j \alpha_n}{2} \right) \cos n \pi \varphi_{jB}^B \right\} \quad (6)$$

$$M_{BC} = -\frac{4}{\pi \alpha_n (\alpha_n + 1)} M_{Bj}^B \sin \frac{\pi j \alpha_n}{2} \sin n \pi \varphi_{jB}^B$$

式(3)を式(1)に代入し、かごり、式(4), (5), (6)を用いて計算のうえ整理すれば 図-1 に示す斜形平板の弹性曲面が次式のとく求められる。

$$\begin{aligned}
W & = \frac{1}{D} \sum_{n=1}^{\infty} \left[\frac{4}{\pi \alpha_n} \sin \frac{\pi n \alpha}{2} \left(\frac{f}{\sum_{i=1}^f} \frac{\sum_{j=1}^f R_i^A \sin n \pi \varphi_{iA}}{\sum_{j=1}^f R_j^B \sin n \pi \varphi_{jB}} R_i^A - \frac{z}{\sum_{j=1}^f R_j^B} \sin n \pi \varphi_{jB} R_j^B \right) \right. \\
& \quad + \frac{4}{\pi \alpha_n} \sin \frac{\pi n \alpha}{2} \left(\frac{f}{\sum_{i=1}^f} \frac{\sum_{j=1}^f M_{Ai}^A \sin n \pi \varphi_{iA}}{\sum_{j=1}^f M_{Bj}^B \sin n \pi \varphi_{jB}} M_{Ai}^A - \frac{z}{\sum_{j=1}^f M_{Bj}^B} \sin n \pi \varphi_{jB} M_{Bj}^B \right) \\
& \quad \left. + \frac{z^2}{\pi \alpha_n^2} \left(\cos \frac{\pi n \alpha}{2} - \frac{z}{\pi n \alpha} \sin \frac{\pi n \alpha}{2} \right) \left(\frac{f}{\sum_{i=1}^f} \frac{\sum_{j=1}^f \left(\frac{6}{\alpha_n \alpha_i} M_{Ai}^A \cos n \pi \varphi_{iA} - \frac{z}{\pi i \alpha_n} \sin n \pi \varphi_{iA} M_{Ai}^A \right) + Q_i + F_n(r) \right) \sin n \pi \varphi_{iA} \right) \right] \sin n \pi \varphi_{iA} \quad (7)
\end{aligned}$$

$$\text{たゞし } S = \bar{\gamma} F_m^M(n) + \gamma F_m^M(y_2) + p F_m^T(n) + s F_m^T(y_2),$$

$$P_m = \{(R_A + r^2 R_C)R + (R_B + r^2 R_D)\}/E_0, Q_m = \{(S_A + r^2 S_C)R + (S_B + r^2 S_D)\}/E_0, H_m = \{(Q_A + r^2 Q_C)R + (Q_B + r^2 Q_D)\}/E_0$$

$$\bar{\gamma} = \{(K_A + r^2 K_C)R + (K_B + r^2 K_D)\}/E_0, \eta = \{(L_A + r^2 L_C)R + (L_B + r^2 L_D)\}/E_0, \rho = \{(M_A + r^2 M_C)R + (M_B + r^2 M_D)\}/E_0, \zeta = \{(N_A + r^2 N_C)R + (N_B + r^2 N_D)\}/E_0$$

また、たわみ角、ねじりモーメントおよび曲げモーメントと弹性曲面Wとの周辺の連続式に式(7)を代入すれば、板のたわみ角、ねじりモーメントおよび曲げモーメントの各式がえられることとなる。

(2) 基本連立方程式 $\partial A/\partial x, \partial C/\partial x$ の各中間支柱の変位変化をそれぞれ dA, dB とし、また、荷重および拘束方向の柱軸回転角を θ_R, θ_L とし $(R=1, 2, \dots, f; l=1, 2, \dots, s)$ 。かかるとき、板の弹性曲面Wおよびその一次微係数 $\partial w/\partial x, \partial w/\partial y$ は各中間支柱位置における、これら中間支柱の変位変化および柱軸回転角に等しくなければならないこととする变形条件式をうる。

$$\begin{aligned} r = r_1, \quad \varphi = \varphi_{RA} \quad & \text{と} \quad \omega = dA, \quad \frac{\partial w}{\partial x} = \theta_R^A, \quad \frac{\partial w}{\partial y} = \theta_L^A \quad (R=1, 2, \dots, f) \\ r = r_2, \quad \varphi = \varphi_{RB} \quad & \text{と} \quad \omega = dB, \quad \frac{\partial w}{\partial x} = \theta_R^B, \quad \frac{\partial w}{\partial y} = \theta_L^B \quad (l=1, 2, \dots, s) \end{aligned} \quad \{ (8)$$

式(8)は式(7)を代入し、過渡のうえ整理すれば、次の二つと基本連立方程式がえられる。

$$\begin{bmatrix} A_{ik}^d & -B_{ik}^d & C_{ik}^d & -D_{ik}^d & E_{ik}^d & -F_{ik}^d \\ A_{il}^d & -B_{il}^d & C_{il}^d & -D_{il}^d & E_{il}^d & -F_{il}^d \\ A_{jk}^d & -B_{jk}^d & C_{jk}^d & -D_{jk}^d & E_{jk}^d & -F_{jk}^d \\ A_{jl}^d & -B_{jl}^d & C_{jl}^d & -D_{jl}^d & E_{jl}^d & -F_{jl}^d \\ A_{kl}^d & -B_{kl}^d & C_{kl}^d & -D_{kl}^d & E_{kl}^d & -F_{kl}^d \\ A_{kl}^d & -B_{kl}^d & C_{kl}^d & -D_{kl}^d & E_{kl}^d & -F_{kl}^d \end{bmatrix} \cdot \begin{bmatrix} \frac{1}{R^3} R_A^A \\ \frac{1}{R^3} R_B^B \\ \frac{1}{R^3} M_R^A \\ \frac{1}{R^3} M_R^B \\ \frac{1}{R^3} M_{L1}^A \\ \frac{1}{R^3} M_{L1}^B \end{bmatrix} = - \begin{bmatrix} G_R^d + L_R^d + J_R^d + \frac{D}{R^4} dA \\ G_L^d + L_L^d + J_L^d + \frac{D}{R^4} dB \\ G_R^r + L_R^r + J_R^r + \frac{D}{R^3} \theta_R^A \\ G_L^r + L_L^r + J_L^r + \frac{D}{R^3} \theta_L^A \\ G_R^{\theta} + L_R^{\theta} + J_R^{\theta} + \frac{D}{R^3} \theta_R^B \\ G_L^{\theta} + L_L^{\theta} + J_L^{\theta} + \frac{D}{R^3} \theta_L^B \end{bmatrix} \quad (i, R=1, 2, \dots, f) \\ (j, l=1, 2, \dots, s) \quad (9)$$

たゞし

$$A_{ik}^d = \frac{4}{m \pi (R^2 \cos^2 \alpha)} \sin \frac{m \pi k}{2} \sin m \pi y_A \sin m \pi x_A$$

$$B_{ik}^d = \frac{24}{m \pi (R^2 \cos^2 \alpha)} Q_R^A \sin \frac{m \pi k}{2} \sin m \pi y_B \sin m \pi x_A$$

$$C_{ik}^d = \frac{24}{m \pi (R^2 \cos^2 \alpha)} G_R^A \sin \frac{m \pi k}{2} \sin m \pi y_A \sin m \pi x_A$$

$$D_{ik}^d = \frac{24}{m \pi (R^2 \cos^2 \alpha)} H_R^A \sin \frac{m \pi k}{2} \sin m \pi y_B \sin m \pi x_A$$

$$E_{ik}^d = \frac{12}{m \pi (R^2 \cos^2 \alpha)} P_R^A (\cos \frac{m \pi k}{2} - \frac{2}{m \pi k} \sin \frac{m \pi k}{2}) \cos m \pi y_A \sin m \pi x_A$$

$$F_{ik}^d = \frac{12}{m \pi (R^2 \cos^2 \alpha)} Q_R^A (\cos \frac{m \pi k}{2} - \frac{2}{m \pi k} \sin \frac{m \pi k}{2}) \cos m \pi y_B \sin m \pi x_A$$

$$A_{il}^d = \frac{4}{m \pi (R^2 \cos^2 \alpha)} P_R^B \sin \frac{m \pi l}{2} \sin m \pi y_A \sin m \pi x_A$$

$$B_{il}^d = \frac{24}{m \pi (R^2 \cos^2 \alpha)} Q_R^B \sin \frac{m \pi l}{2} \sin m \pi y_B \sin m \pi x_A$$

$$C_{il}^d = \frac{24}{m \pi (R^2 \cos^2 \alpha)} G_R^B \sin \frac{m \pi l}{2} \sin m \pi y_A \sin m \pi x_A$$

$$D_{il}^d = \frac{24}{m \pi (R^2 \cos^2 \alpha)} H_R^B \sin \frac{m \pi l}{2} \sin m \pi y_B \sin m \pi x_A$$

$$E_{il}^d = \frac{12}{m \pi (R^2 \cos^2 \alpha)} P_R^B (\cos \frac{m \pi l}{2} - \frac{2}{m \pi l} \sin \frac{m \pi l}{2}) \cos m \pi y_A \sin m \pi x_A$$

$$F_{il}^d = \frac{12}{m \pi (R^2 \cos^2 \alpha)} Q_R^B (\cos \frac{m \pi l}{2} - \frac{2}{m \pi l} \sin \frac{m \pi l}{2}) \cos m \pi y_B \sin m \pi x_A$$

$$A_{jk}^d = \frac{4}{m \pi (R^2 \cos^2 \alpha)} P_R^A \sin \frac{m \pi j}{2} \sin m \pi y_A \cos m \pi x_A$$

$$B_{jk}^d = \frac{4}{m \pi (R^2 \cos^2 \alpha)} Q_R^A \sin \frac{m \pi j}{2} \sin m \pi y_B \cos m \pi x_A$$

$$C_{jk}^d = \frac{4}{m \pi (R^2 \cos^2 \alpha)} G_R^A \sin \frac{m \pi j}{2} \sin m \pi y_A \cos m \pi x_A$$

$$D_{jk}^d = \frac{4}{m \pi (R^2 \cos^2 \alpha)} H_R^A \sin \frac{m \pi j}{2} \sin m \pi y_B \cos m \pi x_A$$

$$E_{jk}^d = \frac{12}{m \pi (R^2 \cos^2 \alpha)} P_R^B (\cos \frac{m \pi j}{2} - \frac{2}{m \pi j} \sin \frac{m \pi j}{2}) \cos m \pi y_A \cos m \pi x_A$$

$$A_{jl}^d = \frac{4}{m \pi (R^2 \cos^2 \alpha)} P_R^B \sin \frac{m \pi l}{2} \sin m \pi y_A \sin m \pi x_B$$

$$B_{jl}^d = \frac{24}{m \pi (R^2 \cos^2 \alpha)} Q_R^B \sin \frac{m \pi l}{2} \sin m \pi y_B \sin m \pi x_B$$

$$C_{jl}^d = \frac{24}{m \pi (R^2 \cos^2 \alpha)} G_R^B \sin \frac{m \pi l}{2} \sin m \pi y_A \sin m \pi x_B$$

$$D_{jl}^d = \frac{24}{m \pi (R^2 \cos^2 \alpha)} H_R^B \sin \frac{m \pi l}{2} \sin m \pi y_B \sin m \pi x_B$$

$$E_{jl}^d = \frac{12}{m \pi (R^2 \cos^2 \alpha)} P_R^B (\cos \frac{m \pi l}{2} - \frac{2}{m \pi l} \sin \frac{m \pi l}{2}) \cos m \pi y_A \sin m \pi x_B$$

$$F_{jl}^d = \frac{12}{m \pi (R^2 \cos^2 \alpha)} Q_R^B (\cos \frac{m \pi l}{2} - \frac{2}{m \pi l} \sin \frac{m \pi l}{2}) \cos m \pi y_B \sin m \pi x_B$$

$$A_{kl}^d = \frac{4}{m \pi (R^2 \cos^2 \alpha)} P_R^A \sin \frac{m \pi k}{2} \sin m \pi y_A \cos m \pi x_B$$

$$B_{kl}^d = \frac{24}{m \pi (R^2 \cos^2 \alpha)} Q_R^A \sin \frac{m \pi k}{2} \sin m \pi y_B \cos m \pi x_B$$

$$C_{kl}^d = \frac{24}{m \pi (R^2 \cos^2 \alpha)} G_R^A \sin \frac{m \pi k}{2} \sin m \pi y_A \cos m \pi x_B$$

$$D_{kl}^d = \frac{24}{m \pi (R^2 \cos^2 \alpha)} H_R^A \sin \frac{m \pi k}{2} \sin m \pi y_B \cos m \pi x_B$$

$$E_{kl}^d = \frac{12}{m \pi (R^2 \cos^2 \alpha)} P_R^A (\cos \frac{m \pi k}{2} - \frac{2}{m \pi k} \sin \frac{m \pi k}{2}) \cos m \pi y_A \cos m \pi x_B$$

$$F_{kl}^d = \frac{12}{m \pi (R^2 \cos^2 \alpha)} Q_R^A (\cos \frac{m \pi k}{2} - \frac{2}{m \pi k} \sin \frac{m \pi k}{2}) \cos m \pi y_B \cos m \pi x_B$$

$F_{jk}^A = \frac{R}{\pi} \frac{240n}{\pi^2 n^2 C_0^2} P_n^A (\cos \frac{n\pi x}{2} - \frac{2}{n\pi x} \sin \frac{n\pi x}{2}) \cos \pi y_B \cos \pi z_B$, $F_{jk}^B = \frac{R}{\pi} \frac{240n}{\pi^2 n^2 C_0^2} P_n^B (\cos \frac{n\pi x}{2} - \frac{2}{n\pi x} \sin \frac{n\pi x}{2}) \cos \pi y_B \cos \pi z_B$,
 $G_{jk}^A = \frac{R}{\pi} \{ 3^A H_m^A(\lambda) + 3^B H_m^B(\lambda) \} \sin \pi y_B \cos \pi z_B$, $G_{jk}^B = \frac{R}{\pi} \{ 3^B H_m^B(\lambda) + 3^A H_m^A(\lambda) \} \sin \pi y_B \cos \pi z_B$
 $L_{jk}^A = \frac{R}{\pi} \{ P_B H_m^A(\lambda) + 3^B H_m^B(\lambda) \} \sin \pi y_B \cos \pi z_B$, $L_{jk}^B = \frac{R}{\pi} \{ P_A H_m^B(\lambda) + 3^A H_m^A(\lambda) \} \sin \pi y_B \cos \pi z_B$,
 $G_{jk}^A = \frac{R}{\pi} \{ 3^A H_m^A(\lambda) + 3^B H_m^B(\lambda) \} \sin \pi y_B \cos \pi z_B$, $L_{jk}^A = \frac{R}{\pi} \{ P_A H_m^A(\lambda) + 3^A H_m^A(\lambda) \} \sin \pi y_B \cos \pi z_B$, $G_{jk}^B = \frac{R}{\pi} \{ 3^B H_m^B(\lambda) + 3^A H_m^A(\lambda) \} \sin \pi y_B \cos \pi z_B$,
 $J_{jk}^A = \frac{R}{\pi} \{ F_B H_m^A(\lambda) + 3^B H_m^B(\lambda) \} \sin \pi y_B \cos \pi z_B$, $J_{jk}^B = \frac{R}{\pi} \{ F_A H_m^B(\lambda) + 3^A H_m^A(\lambda) \} \sin \pi y_B \cos \pi z_B$,
 $L_{jk}^A = \frac{R}{\pi} \{ \alpha \{ P_A H_m^A(\lambda) + 3^A H_m^A(\lambda) \} \cos \pi y_B \cos \pi z_B$, $L_{jk}^B = \frac{R}{\pi} \{ \alpha \{ P_B H_m^B(\lambda) + 3^B H_m^B(\lambda) \} \cos \pi y_B \cos \pi z_B$,
 $J_{jk}^A = \frac{R}{\pi} \{ \alpha \{ F_A H_m^A(\lambda) + 3^A H_m^A(\lambda) \} \cos \pi y_B \cos \pi z_B$, $J_{jk}^B = \frac{R}{\pi} \{ \alpha \{ F_B H_m^B(\lambda) + 3^B H_m^B(\lambda) \} \cos \pi y_B \cos \pi z_B$,
 $\lambda = 13/n$, $P_A^A \sim H_m^A$, $3^A \sim S^A$ は $r = \lambda$, $P_B^B \sim H_m^B$, $3^B \sim S^B$ は $r = 1$ とおいたもの。また、ダッシュ線記号は $r = 1$ に $r = 1.2$ の一次微分値を示す。
 例として扇形平板が中间支柱の代りにモーメント抵抗のない中间支点で支えられた場合の基本連立方程式は次式のようなく簡単となる。

$$\begin{bmatrix} A_{jk}^d & -B_{jk}^d \\ A_{jk}^d & -B_{jk}^d \end{bmatrix} \begin{bmatrix} \frac{1}{R} R_A^d \\ \frac{1}{R} R_B^d \end{bmatrix} = - \begin{bmatrix} G_{jk}^d + L_{jk}^d + J_{jk}^d + \frac{D}{R} dE_A \\ G_{jk}^d + L_{jk}^d + J_{jk}^d + \frac{D}{R} dE_B \end{bmatrix} \quad (j, k = 1, 2, \dots, f), (q, l = 1, 2, \dots, s)$$
 (10)

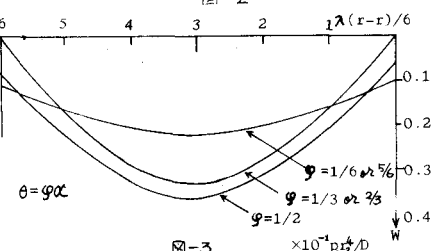
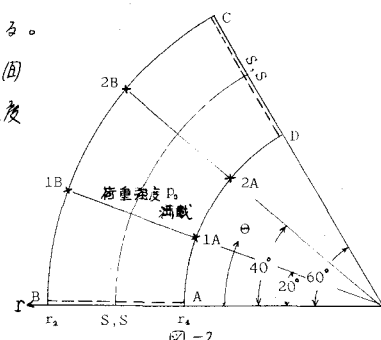
式(9)は未知不静空力と同様の連立方程式となるゆえ、これから連立に解けば各中间支柱の垂直反力および法線接着方向の反力モーメントがえられ、その結果を式(7)に代入すれば図-1に示す扇形平板の弹性曲面が求められ本題の構造物が解けることとなる。

3. 計算例 図-2に示すとくに A, D, B, C において中间支点 1A, 2A および 1B, 2B で支持される扇形平板に荷重密度を与える等分布荷重が満載されるものとする。また、各中间支点の反点以下が記されているものとし、さらに $\alpha = \pi/3$, $\nu = 0.3$, $\frac{R_1 - R}{2} \alpha / (R - R_1) = 2.0$ である。かかるとき、式(10)の基本連立方程式を解けば各中间支点の垂直反力が次のよう求められる。

$$R_A^A = R_B^B = 0.05253 \text{ kg/m}^2, \quad R_A^B = R_B^A = 0.06355 \text{ kg/m}^2, \quad (11)$$

式(11)を式(7)に代入すれば扇形平板の弹性曲面が算定されることとなるが特に $\varphi = 1/6$ (or 5%), $\varphi = 1/3$ (or 3%) および $\varphi = 1/2$ の各断面のたわみにつれて計算すれば図-3のようとなる。

4. 結論 本研究はまだ未解決の周辺柱で支えられるごとき扇形平板の解析を不能にして点極めて意義がある。また、本法を拡張適用すれば、板面内の凹間にありて柱で支えられるごとき扇形平板の解析も可能であり、これにつけて後は報告の予定である。



文献

- 1) 山崎, 橋本, 山田: 一方柱が柱支持され、他柱立柱が単純支持された等分布荷重矩形板の解法, 土木学会学術集録 Vol 40, No 5, S42
- 2) 山崎, 橋本, 山田: 一方柱が中间支柱と剛接続支持される等分布荷重矩形板の解法, 土木学会西部支部研究発表会 S43
- 3) 山崎, 橋本, 松本: テンキ再帰モード関係式による一方周囲支持扇形平板の解法, 土木学会西部支部研究発表会 S41
- 4) 芦村: 曲線直交異方性扇形平板の曲げ I-II, 土木学会論文集 第82号, 1962